Correlation functions and genus of SDSS galaxies

東京大学 大学院理学系研究科 須藤 靖 (ADAC project: mys02)

2002年12月25日 天文学データ解析計算センター 大規模シミュレーションサブシステム ユーザーズミーティング

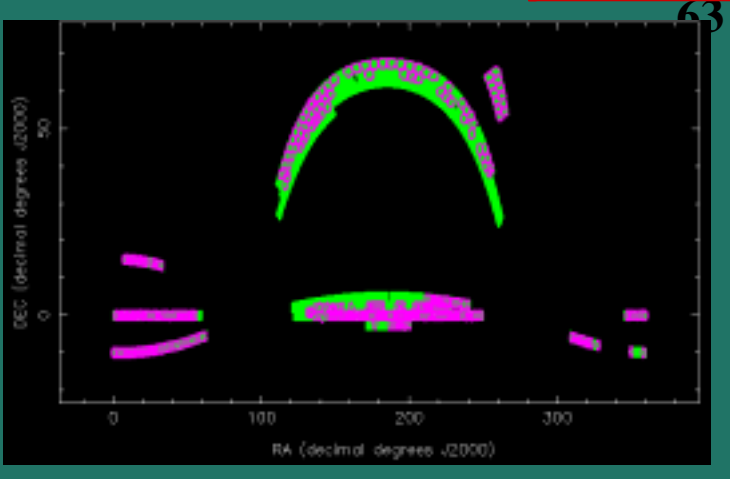
mys02: プロジェクトメンバー

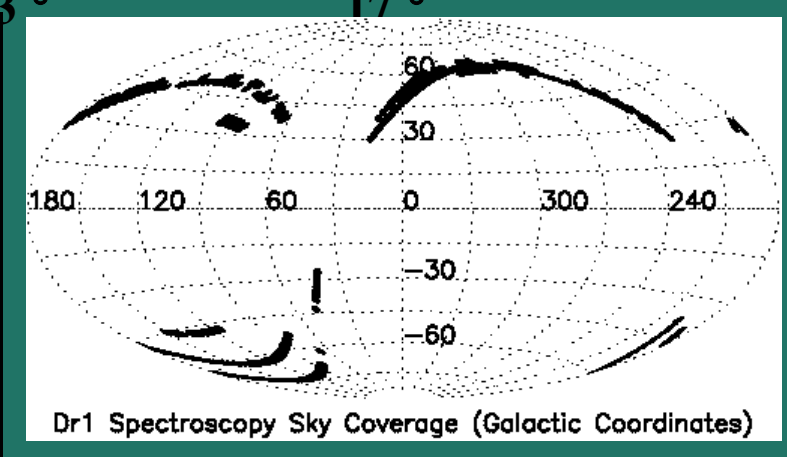
- ■景益鵬(上海天文台)
- ■松原隆彦(名古屋大)
- ■浜名崇(国立天文台)
- ■李貞勳(東大)
- ■日影千秋(東大)
- ■加用一者(東大)

SDSS galaxy spectroscopic catalogues

Sample 10 (14.5<r<17.5)

Right ascension	declination	# of galaxies
129 ° < <	-3.7 ° < <	43938
112 ²⁵⁰ < <	236,1° <	44702
308 ²⁶⁷ <° <	-12 ⁶⁹ <° <	38155

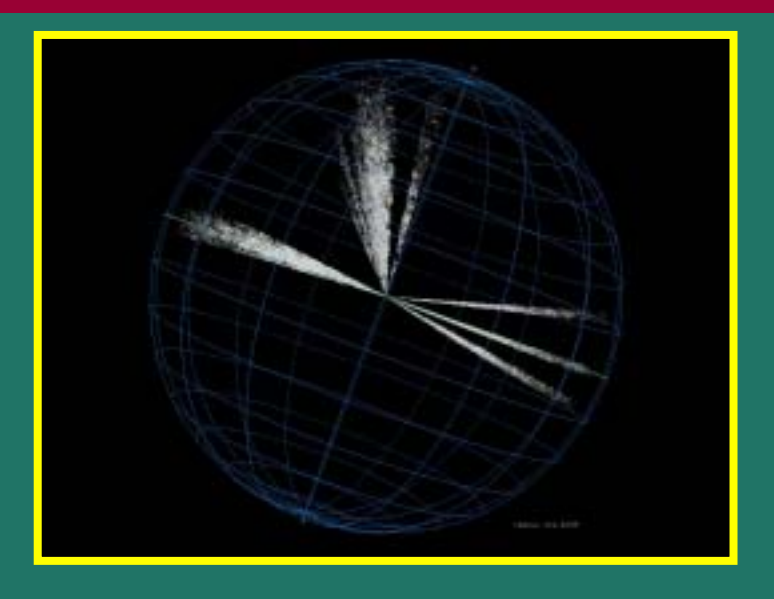


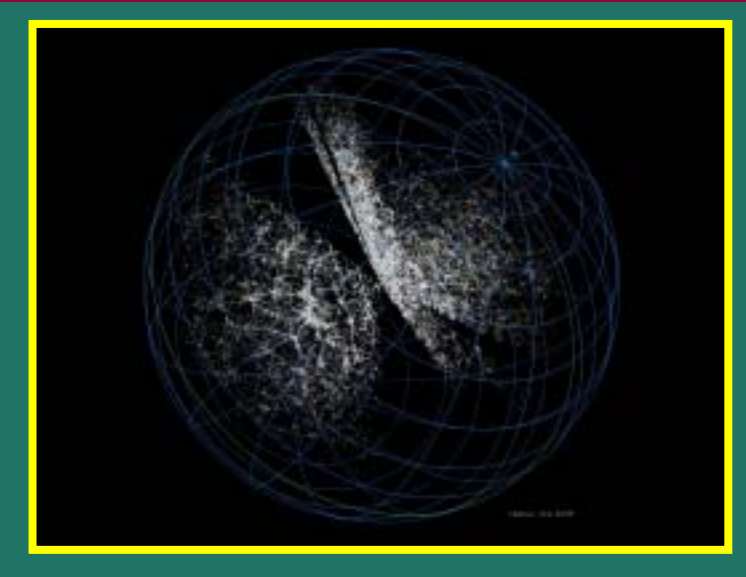


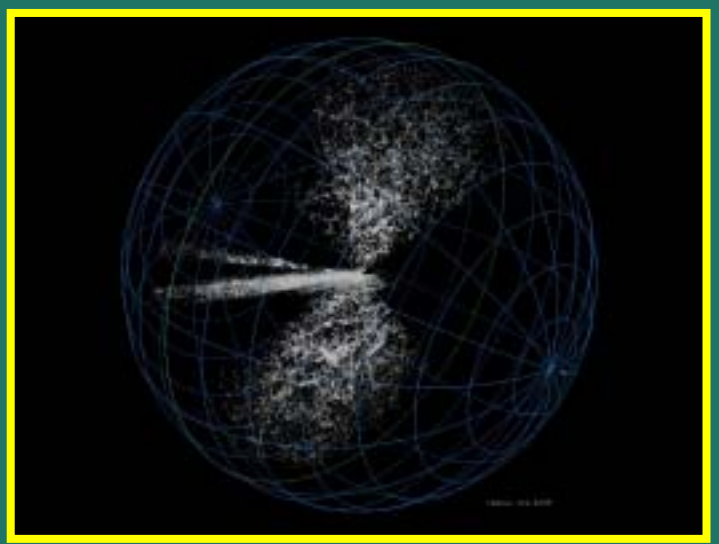
Volume-limited sub-samples

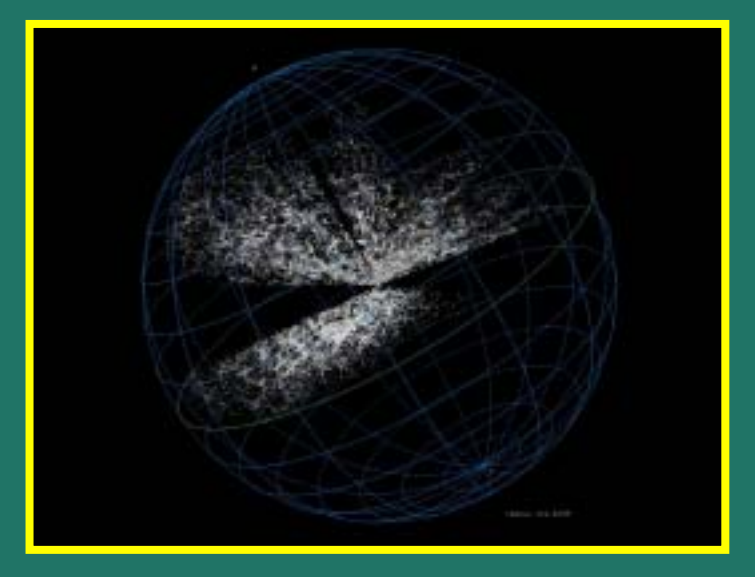
magnitude	redshift	#(early-type)	#(late-
-23 <m<sub>r<-22</m<sub>	0.10 <z<0.15< td=""><td>1051</td><td>typs)</td></z<0.15<>	1051	typs)
-22 <m<sub>r<-21</m<sub>	0.065 <z<0.11< td=""><td>4229</td><td>2741</td></z<0.11<>	4229	2741
-21 <m<sub>r<-20</m<sub>	0.042 <z<0.075< td=""><td>3346</td><td>4024</td></z<0.075<>	3346	4024
-20 <m<sub>r<-19</m<sub>	0.027 <z<0.049< td=""><td>1100</td><td>2706</td></z<0.049<>	1100	2706
-19 <m<sub>r<-18</m<sub>	0.017 <z<0.031< td=""><td>202</td><td>1185</td></z<0.031<>	202	1185

Snapshots of galaxies in the SDSS Sample 10





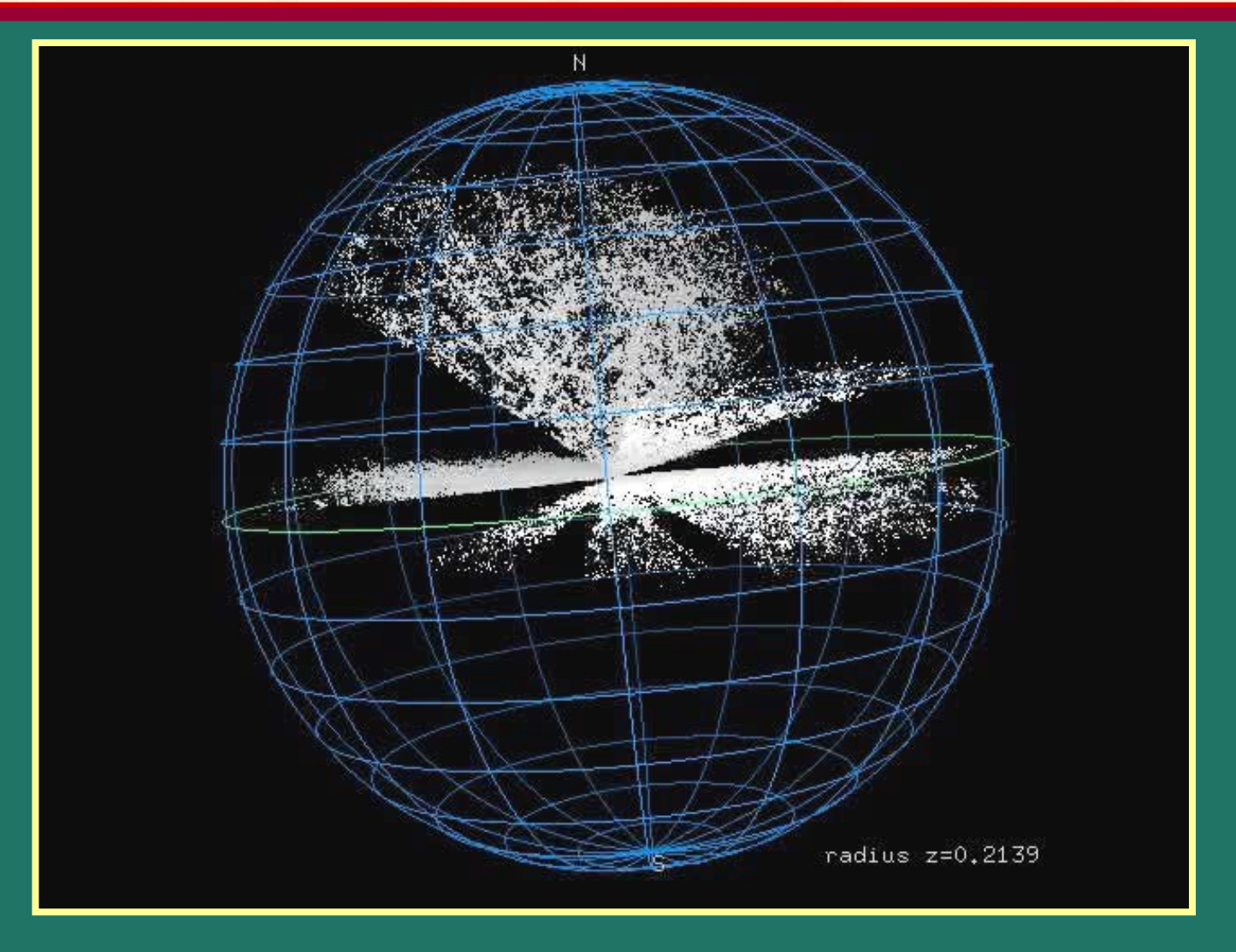




SDSS galaxy analysis

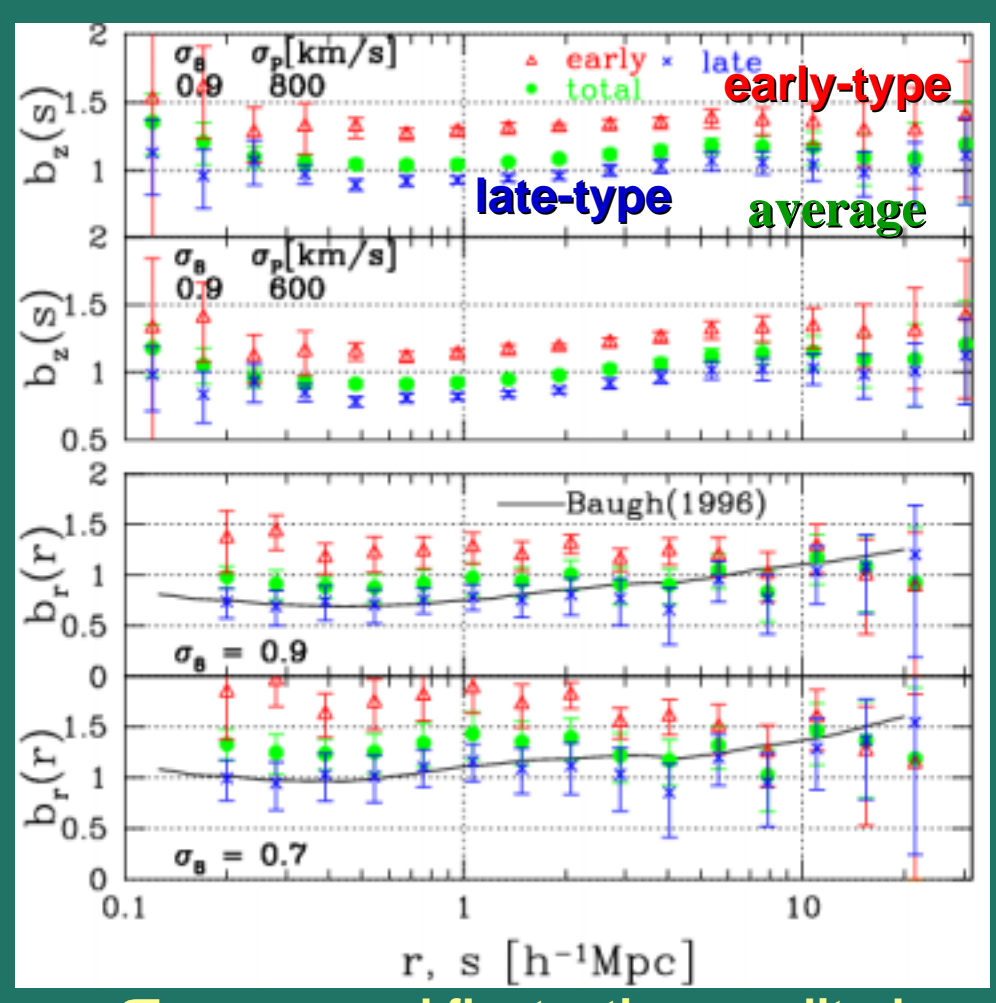
三橋賢司(東京大学物理教室学部4年)による可視化例

Galaxy distribution in the SDSS Sample 10



三橋賢司、田村健一(東京大学)による可視化

Morphology-dependent galaxy bias from SDSS data



 σ_{8} : assumed fluctuation amplitude

 σ_p : pair-wise velocity dispersion [km/s]

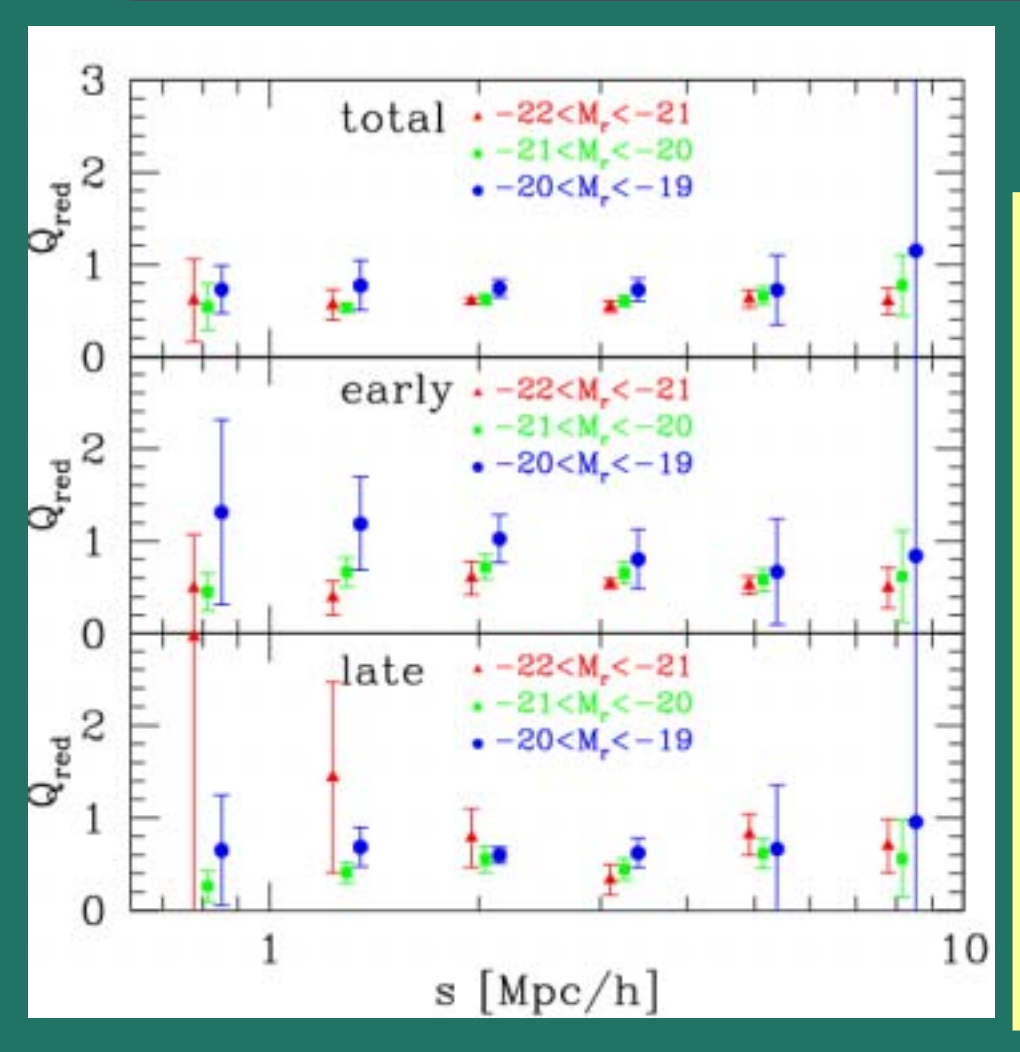
SDSS galaxy analysis

$$b \equiv \sqrt{\xi(\text{galaxies})/\xi(\Lambda \text{CDM})}$$

- galaxy bias is fairly scale-independent, if CDM $(+ \sigma_8, \sigma_p)$ assumed.
- clear morphology dependence; "early"-types are positively biased relative to mass, while "late"-types are anti-biased.

Kayo et al., in preparation

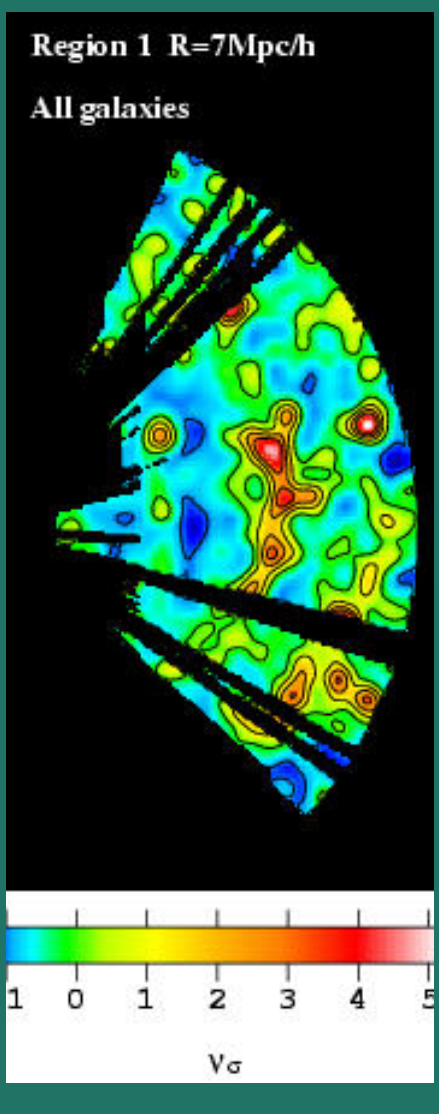
Luminosity/morphology dependence of threepoint correlation function in redshift space

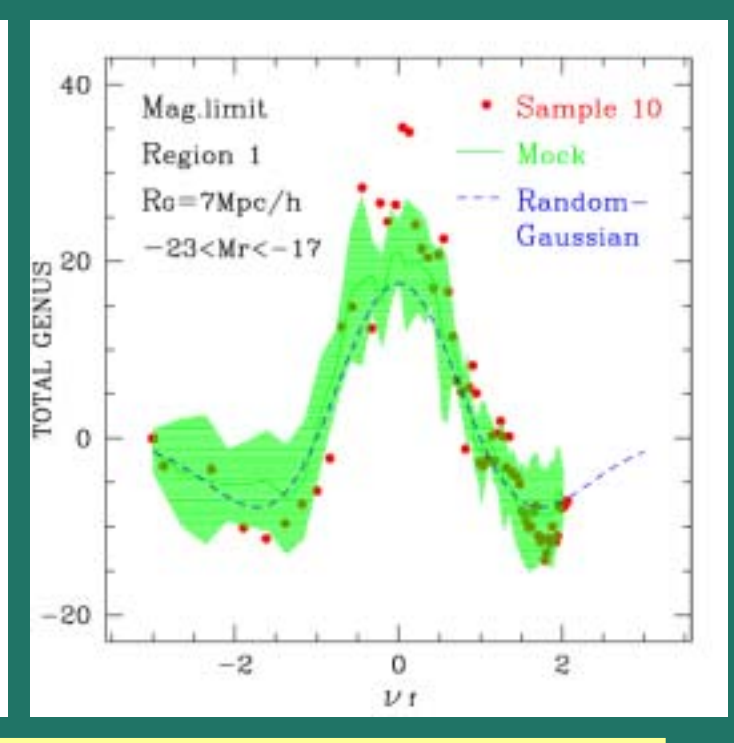


$$Q_{red} = \frac{\zeta(s_1, s_2, s_3)}{\xi(s_1)\xi(s_2) + \xi(s_2)\xi(s_3) + \xi(s_3)\xi(s_1)}$$

The normalized threepoint amplitudes show weak scale-dependence when SDSS galaxies are divided into different luminosity and/or morphology groups (Kayo et al. in preparation).

Topology of SDSS galaxy distribution: genus

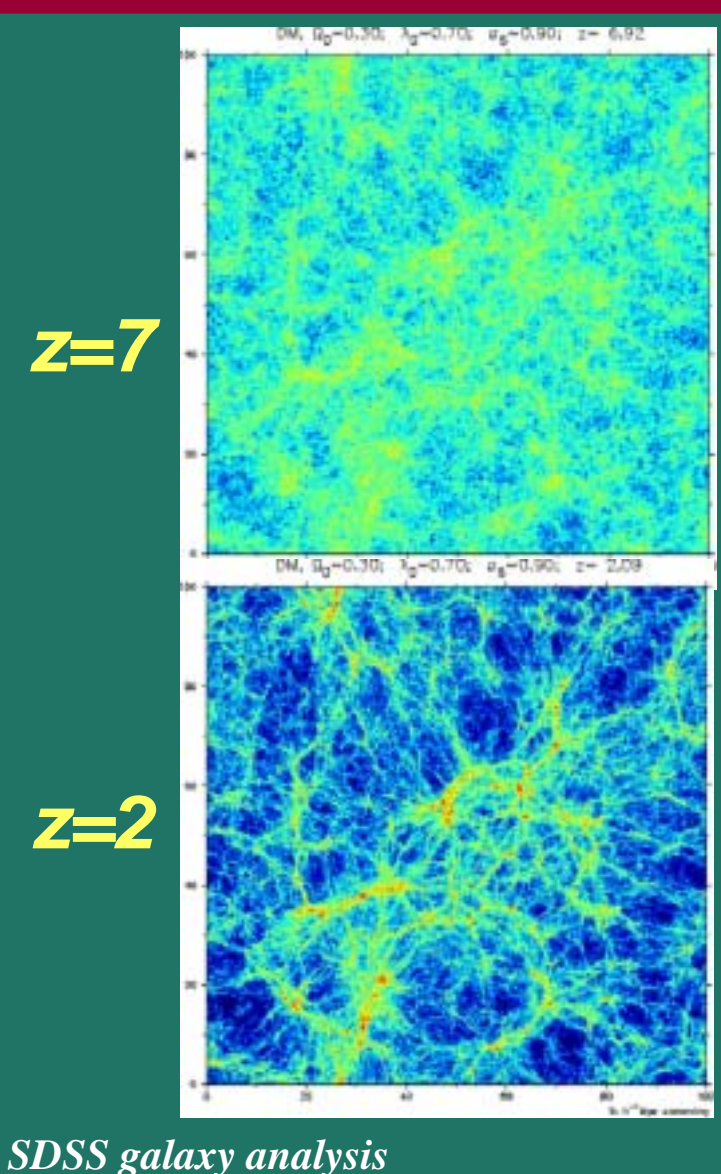




Genus curves of SDSS sample 10 are largely consistent with those originated from the primordial random-Gaussian field (Hikage et al. in preparation).

SDSS mock samples

z=0 (LCDM; N=5123)



DM, $\Omega_0 = 0.30$; $\lambda_0 = 0.70$; $\sigma_8 = 0.90$; z = 0.00in h⁻¹Mpc comoving

Summary

- SDSSの最初の公式データカタログ(DR1:Data Release 1)が2003年3月初めにリリースされる予定。
- 今回紹介したように、我々のグループが中心となって 行っている解析は、
 - 銀河2点関数の赤方偏移空間および実空間でのバイアス の評価 (加用 et al.)
 - 赤方偏移空間における銀河3点関数の計算 (加用 et al.)
 - ジーナスを代表とする、銀河分布のトポロジーを一般のミンコフスキー汎関数を用いて定量化 (日影 et al.)
- これらの統計における、銀河の光度·形態依存性を 初めて系統的に調べることができつつある。
- ■この観測結果の宇宙論的解釈において、天文台で得られたシミュレーションカタログが本質的。